

Compatibility Analysis of T0 Dimension Formulations

Unification of 4D Torsion Crystal and Fractal Dimension

Comparison of Documents 149, 018, and 145

Analysis Report

January 2025

Abstract

This analysis investigates die Kompatibilität der dimensionalen Beschreibungen in drei zentralen T0-Dokumenten: der 4-dimensionalen torsion crystal-Formulierung (Dokumente 149 und 018) und der fraktalen Dimensionsformulierung $D_f = 3 - \xi$ (Dokument 145). The central question is: Sind diese Beschreibungen widersprüchlich or komplementär? The analysis shows: **The formulations are fully compatible** und beschreiben the same physical phenomenon from two complementary perspectives – einer geometric-topological (4D-torsion crystal) und einer fractal-analytical (effective dimension). Der fundamental parameter $\xi = 4/30000 = 1,333 \times 10^{-4}$ unites both views: topologically encodes die 4 die number of fundamental dimensions, while fractally der Faktor 4/3 die sphere packing geometry beschreibt. Beide führen zu identical experimental predictions.

Contents

1	Introduction: The Question	1
1.1	Initial Situation	1
1.2	Central Question	2
1.3	Main Result	2
2	Document Overview	2
2.1	Dokument 149: FFGFT-torsion_De.tex	2
2.1.1	Dimensional Description	2

2.1.2	Mathematical Structure	3
2.1.3	Energy Consideration	3
2.2	Dokument 018: T0_Anomale-g2-10_De.tex	3
2.2.1	Dimensional Description	3
2.2.2	Physical Interpretation	4
2.3	Dokument 145: FFGFT_donat-teil1_De.tex	4
2.3.1	Dimensional Description	4
2.3.2	Physical Meaning	4
2.3.3	Geometric Origin	4
3	Mathematische Kompatibilität	5
3.1	Die Doppelbedeutung von $\xi = 4/30000$	5
3.1.1	Topologische Interpretation (Dokumente 149, 018)	5
3.1.2	Fraktale Interpretation (Dokument 145)	5
3.2	Mathematische Äquivalenz	5
4	Physikalische Vereinheitlichung	6
4.1	Kompaktifizierung als Brücke	6
4.2	Mathematische Formulierung	6
4.2.1	Kompaktifizierungsradius	6
4.2.2	Kaluza-Klein Reduktion	6
4.3	Gemeinsame Vorhersagen	7
5	Detaillierte Korrespondenzen	7
5.1	Energieverteilung	7
5.1.1	4D-Formulierung (Dokument 149)	7
5.1.2	Fraktale Formulierung (Dokument 145)	7
5.1.3	Verbindung	7
5.2	Symmetriebrechung	8
5.2.1	4D-Formulierung (Dokument 149)	8
5.2.2	Fraktale Formulierung (Dokument 145)	8
5.2.3	Äquivalenz	8
5.3	Sub-Planck-Struktur	8
5.3.1	4D-Formulierung (Dokument 149)	8
5.3.2	Fraktale Formulierung (Dokument 145)	8
5.3.3	Ergebnis	8
6	Klärung: Keine 5-Dimensionen	9
6.1	Häufiges Missverständnis	9
6.2	Die Rolle der pentagonalen Symmetrie	9
7	Experimentelle Konsequenzen	9
7.1	Identische Vorhersagen	9
7.1.1	Modifiziertes Coulomb-Gesetz (aus Dokument 145)	9

7.1.2	Anomale magnetische Momente (aus Dokumenten 018, 149)	10
7.1.3	Higgs-Vakuumerwartungswert (aus Dokument 149)	10
7.2	Unabhängigkeit von der Formulierung	10
8	Komplementarität der Perspektiven	10
8.1	Vorteile der 4D-Perspektive (Dokumente 149, 018)	10
8.2	Vorteile der fraktalen Perspektive (Dokument 145)	11
8.3	Empfehlung: Beide verwenden	11
9	Formal-Mathematische Zusammenfassung	11
9.1	Vollständige Theorie	11
9.2	Effektive Niedrigenergie-Theorie	12
9.3	Physikalische Observablen	12
10	Fazit	12
10.1	Schlüsselverbindung	13
10.2	Praktische Empfehlung	13
10.3	Ausblick	13

1 Introduction: The Question

1.1 Initial Situation

In der T0-Theorie (FFGFT – Fundamental Fractal Geometric Field Theory) several documents exist, die seemingly different dimensional descriptions der fundamental spacetime structure verwenden:

- **Dokument 149** (FFGFT-torsion_De.tex): Describes a “four-dimensional brain-convolution torus”
- **Dokument 018** (T0_Anomale-g2-10_De.tex): Uses a “4-dimensional torsion lattice”
- **Dokument 145** (FFGFT_donat-teil1_De.tex): Defines a “fractal dimension $D_f = 3 - \xi$ ”

1.2 Central Question

Core Question of the Analysis

Sind die 4-dimensionale Formulierung (Dokumente 149, 018) und die fractal dimensionsformulierung $D_f = 3 - \xi$ (Dokument 145) compatible with each other, or beschreiben sie contradictory physical models?

1.3 Main Result

Central Answer

YES – The formulations are fully compatible.

They describe the same physical phenomenon from two complementary perspectives:

- **Geometric Perspective** (149, 018): 4D-torsion crystal with kompaktifizierter 4. Dimension
- **Fractal Perspective** (145): Effektive Dimension $D_f = 3 - \xi$ as result of compactification

Der Parameter $\xi = 4/30000$ unites both views und leads to identischen physikalischen Vorhersagen.

2 Document Overview

2.1 Dokument 149: FFGFT-torsion_De.tex

2.1.1 Dimensional Description

Dokument 149 explicitly postulates:

*"The universe is a static **4-dimensional** torsion crystal, whose discrete sub-Planck structure generates all observable physical phenomena."*

Key Features:

- Four-dimensional Hirnwundungs-Torus
- 3 spatial dimensions + 1 compactified additional dimension
- Die 4. Dimension ist "rolled up" und not directly accessible
- Energy distribution over f^4 (four-dimensional hypercube)

2.1.2 Mathematical Structure

Die fundamental number 30000 is interpreted as:

$$30000 = 3 \times 4 \times 1000 \quad (1)$$

where:

- 3 = three experienceable spatial dimensions
- 4 = full four-dimensional reality
- 1000 = scale hierarchy between fundamental and observable

From this follows:

$$\xi = \frac{4}{30000} = 1,333\bar{3} \times 10^{-4} \quad (2)$$

2.1.3 Energy Consideration

Die Planck-Energie is distributed over the four-dimensional lattice:

$$E_{\text{higgs}} = \frac{E_P}{f^4} \quad (3)$$

Narrative Explanation: In four dimensions contains a hypercube of edge length f exactly f^4 cells. The energy distributes evenly über all diese cells.

2.2 Dokument 018: T0_Anomale-g2-10_De.tex

2.2.1 Dimensional Description

Dokument 018 uses the identical formulation:

*"Die T0-Theorie is based on the principle, that **all** physical constants from the geometric structure of a **4-dimensionalen Torsionsgitters** should follow."*

2.2.2 Physical Interpretation

Leptonen are interpreted as winding structures in the 4D lattice:

- **Elektron:** Simple winding (1. generation)
- **Myon:** Winding with fractal branching (2. generation)
- **Tau:** More complex fractal structure (3. generation)

The anomalous magnetic moments arise through geometric projections of these windings into 3D space.

2.3 Dokument 145: FFGFT_donat-teil1_De.tex

2.3.1 Dimensional Description

Dokument 145 uses different language:

*"The central starting point of the theory is the description of space-time through a **fractal dimension** D_f , which lies slightly below topological dimension 3."*

Mathematically:

$$D_f = 3 - \xi, \quad \text{with} \quad \xi = \frac{4}{3} \times 10^{-4} \quad (4)$$

2.3.2 Physical Meaning

Interpretation of fractal dimension:

- $D_f < 3$ means: Space is not "completely filled"
- There exists a kind of "porosity" or "sparsity"
- These gaps constitute $\xi \approx 0,0001333$ of dimensionality

Scaling Behavior:

$$N(r) \propto r^{D_f} = r^{3-\xi} \quad (5)$$

When increasing resolution by factor r steigt die Anzahl sichtbarer Strukturen with $r^{(3-\xi)}$ instead of r^3 .

2.3.3 Geometric Origin

The factor $4/3$ in $\xi = (4/3) \times 10^{-4}$ wird with Kugelpackung assoziiert:

- Sphere volume: $V = \frac{4}{3}\pi r^3$
- Densest sphere packing: Packing density $\approx 0,74$ ($\sim 26\%$ gaps)

3 Mathematische Kompatibilität

3.1 Die Doppelbedeutung von $\xi = 4/30000$

Der fundamental parameter ξ trägt eine tiefe Doppelbedeutung, die beide Perspektiven vereint:

3.1.1 Topologische Interpretation (Dokumente 149, 018)

$$\xi = \frac{4}{30000} = \frac{4}{3 \times 4 \times 1000} \quad (6)$$

Bedeutung:

- 4 (Zähler) = number of fundamental dimensions
- 3 (Nenner) = Anzahl der beobachtbaren Dimensionen
- 4 (Nenner) = Wiederholung der fundamentalen Dimensionalität
- 1000 = Skalenhierarchie

3.1.2 Fraktale Interpretation (Dokument 145)

$$\xi = \frac{4}{3} \times 10^{-4} \quad (7)$$

Bedeutung:

- $\frac{4}{3}$ = Geometrischer Faktor (Sphere volume, Packing density)
- 10^{-4} = Größenordnung der dimensionalen Abweichung
- $D_f = 3 - \xi$ = effektive fraktale Hausdorff-Dimension

3.2 Mathematische Äquivalenz

Numerische Identität

Beide Interpretationen führen zum identischen Zahlenwert:

$$\xi_{\text{topologisch}} = \frac{4}{30000} = 0,000133\bar{3} \quad (8)$$

$$\xi_{\text{fraktal}} = \frac{4}{3} \times 10^{-4} = 0,000133\bar{3} \quad (9)$$

Die Formulierungen sind mathematisch äquivalent!

4 Physikalische Vereinheitlichung

4.1 Kompaktifizierung als Brücke

Die Verbindung zwischen beiden Perspektiven wird durch das Konzept der **Kompaktifizierung** hergestellt:

Vereinheitlichende Sicht

Fundamentale Ebene:

4-dimensional torsion crystal with kompakter 4. Dimension

↓ Kompaktifizierung auf Sub-Planck-Skala

Effektive Ebene:

3-dimensionaler Raum with fraktaler Korrektur $D_{\text{eff}} = 3 - \xi$

↓ Observable Konsequenzen

Experimentelle Ebene:

~1–2% Abweichungen in Präzisionsmessungen

4.2 Mathematische Formulierung

4.2.1 Kompaktifizierungsradius

Die 4. Dimension ist auf einen Kreis kompaktifiziert:

$$r_4 = \xi \cdot \ell_P \approx 1,33 \times 10^{-4} \cdot 1,616 \times 10^{-35} \text{ m} \approx 2,15 \times 10^{-39} \text{ m} \quad (10)$$

Diese Skala ist **sub-Planck** und direkt nicht beobachtbar.

4.2.2 Kaluza-Klein Reduktion

Nach Dimensionsreduktion (Standard-Methode der Kaluza-Klein-Theorie) erscheint die kompakte Dimension als fraktale Korrektur:

$$D_{\text{eff}} = 3 + \left(\frac{r_4}{\ell_{\text{typical}}} \right)^{D_f - 3} \approx 3 - \xi \quad \text{für } \ell_{\text{typical}} \gg r_4 \quad (11)$$

Interpretation: Die kompakte 4. Dimension "verschmiert" sich zur fraktalen Korrektur!

4.3 Gemeinsame Vorhersagen

Beide Formulierungen führen zu **identischen** physikalischen Vorhersagen:

Observable	4D-Formulierung	Fraktale Formulierung	Wert
ξ -Parameter	$4/30000$	$(4/3) \times 10^{-4}$	$1,333 \times 10^{-4}$
Sub-Planck-Faktor	$f = 7500$	$f = 1/(4\xi)$	7500
Feinstruktur α^{-1}	$\pi^4 \cdot \sqrt{2}$	$\pi^4 \cdot \sqrt{2}$	137,757
Higgs VEV	$E_P/(f^2 \sqrt{4\pi})$	Identisch	246,71 GeV

Table 1: Identische Vorhersagen beider Formulierungen

5 Detaillierte Korrespondenzen

5.1 Energieverteilung

5.1.1 4D-Formulierung (Dokument 149)

$$E_{\text{higgs}} = \frac{E_P}{f^4} \quad (12)$$

Narrative: Die Planck-Energie verteilt sich über f^4 cells des vierdimensionalen Hyperwürfels.

5.1.2 Fraktale Formulierung (Dokument 145)

Skalierungsgesetz:

$$N(r) \propto r^{D_f} = r^{3-\xi} \quad (13)$$

Für große Skalen ($r \rightarrow f$):

$$N(f) \propto f^{3-\xi} \approx f^3 \cdot (1 - \xi \ln f) \approx f^3 \cdot 0,9867 \quad (14)$$

5.1.3 Verbindung

Die f^4 -Skalierung in 4D entspricht der fraktalen Korrektur in 3D:

$f^4 = f^3 \cdot f = (\text{3D-Volumen}) \times (\text{kompakte Dimension})$

(15)

5.2 Symmetriebrechung

5.2.1 4D-Formulierung (Dokument 149)

Pentagonale Symmetriebrechung:

- Faktor: $5^4 = 625$ erscheint in $\xi = 4/30000$
- Goldener Schnitt: $\varphi = (1 + \sqrt{5})/2$
- Abweichung: $\sim 2\%$ in Observablen

5.2.2 Fraktale Formulierung (Dokument 145)

Korrekturfaktor:

$$K_{\text{frak}} = 1 - 100\xi \approx 0,9867 \quad (16)$$

Beschreibt kumulative Abweichung über viele Größenordnungen.

5.2.3 Äquivalenz

$$K_{\text{frak}} \approx 0,9867 \Leftrightarrow \text{ca. } 1,33\% \text{ Korrektur} \Leftrightarrow \sim 2\% \text{ in Observablen} \quad (17)$$

Beide beschreiben dieselbe Physik!

5.3 Sub-Planck-Struktur

5.3.1 4D-Formulierung (Dokument 149)

$$\ell_0 = \frac{\ell_P}{f} = \frac{\ell_P}{7500} \quad (18)$$

5.3.2 Fraktale Formulierung (Dokument 145)

$$\Lambda_0 = \xi \cdot \ell_P = \frac{4}{30000} \cdot \ell_P = \frac{\ell_P}{7500} \quad (19)$$

5.3.3 Ergebnis

Identische Sub-Planck-Skala

$$\Lambda_0 = \ell_0 = \frac{\ell_P}{7500} \approx 2,15 \times 10^{-39} \text{ m} \quad (20)$$

Beide Formulierungen sagen exakt dieselbe fundamentale Längenskala vorher!

6 Klärung: Keine 5-Dimensionen

6.1 Häufiges Missverständnis

Wichtige Klarstellung

Weder Dokument 149 noch 018 verwenden 5 spatial dimensions!

Die Zahl "5" erscheint in der Theorie als:

- Pentagonale Symmetrie (5-fache Rotationssymmetrie)
- Goldener Schnitt: $\varphi = (1 + \sqrt{5})/2$
- Faktor $5^4 = 625$ in der Primfaktorzerlegung von 7500

Dies means **NICHT** 5 Dimensionen, sondern 5-fache Symmetrie in 4D-Raum!

6.2 Die Rolle der pentagonalen Symmetrie

$$\text{4D-torsion crystal} \xrightarrow{\text{Lokale Struktur}} \text{Tetraeder (4-fach)} \quad (21)$$

$$\downarrow \quad \text{Globale Symmetrie} \quad (22)$$

$$\text{Pentagon (5-fach)} \xrightarrow{\text{Inkompatibilität}} \text{Quasikristall} \quad (23)$$

$$\downarrow \quad (24)$$

$$\text{Symmetriebrechung} \Rightarrow \sim 2\% \text{ Abweichungen} \quad (25)$$

Die 5-fache Symmetrie ist **in** der 4D-Struktur eingebettet, nicht eine zusätzliche Dimension!

7 Experimentelle Konsequenzen

7.1 Identische Vorhersagen

Beide Formulierungen sagen dieselben experimentellen Tests voraus:

7.1.1 Modifiziertes Coulomb-Gesetz (aus Dokument 145)

$$F_{\text{Coulomb}} \propto \frac{1}{r^{1+\xi}} \approx \frac{1}{r^2} \cdot \left(1 - \xi \ln \frac{r}{\ell_P} \right) \quad (26)$$

7.1.2 Anomale magnetische Momente (aus Dokumenten 018, 149)

Geometrische Vorhersage:

$$a_\tau = f^{1/3} - 1 = 7500^{1/3} - 1 \approx 1,282 \times 10^{-3} \quad (27)$$

7.1.3 Higgs-Vakuumerwartungswert (aus Dokument 149)

$$v = \frac{E_P}{f^2} \cdot \frac{1}{\sqrt{4\pi}} \approx 246,71 \text{ GeV} \quad (28)$$

Experimenteller Wert: $v_{\text{exp}} = 246,22 \text{ GeV}$

Abweichung: 0,2%

7.2 Unabhängigkeit von der Formulierung

Experimentelle Äquivalenz

Alle experimentellen Vorhersagen sind **unabhängig** von der gewählten Perspektive (4D-geometrisch vs. fraktal-analytisch).

Ein Experiment kann **nicht unterscheiden**, welche Formulierung "richtig" ist – weil beide dieselbe Physik beschreiben!

8 Komplementarität der Perspektiven

8.1 Vorteile der 4D-Perspektive (Dokumente 149, 018)

Stärken:

- Intuitive geometrische Visualisierung
- Klare physikalische Interpretation (Torsion, Windungen)
- Direkte Verbindung zu Kaluza-Klein-Theorien
- Narrative Kraft für Erklärungen

Verwendung:

- Energieverteilung (f^4 -Skalierung)
- Projektionen 4D → 3D
- Topologische Überlegungen

8.2 Vorteile der fraktalen Perspektive (Dokument 145)

Stärken:

- Mathematically präzise Skalierungsgesetze
- Direkte Verbindung zu fraktaler Geometrie
- Korrekturfaktoren für physikalische Gesetze
- Analytische Berechenbarkeit

Verwendung:

- Korrekturfaktor K_{frak}
- Modifikationen von Kraftgesetzen
- Dimensionale Analyse

8.3 Empfehlung: Beide verwenden

Optimale Strategie

Die beste Beschreibung der T0-Theorie nutzt **beide** Perspektiven komplementär:

- **4D-Sicht** für intuitive geometrische Erklärungen und narrative Darstellungen
- **Fraktale Sicht** für präzise mathematische Berechnungen und analytische Ableitungen

Keine Perspektive ist "richtiger" als die andere – sie ergänzen sich gegenseitig!

9 Formal-Mathematicallye Zusammenfassung

9.1 Vollständige Theorie

$$\text{Volle 4D-Struktur: } M^4 = \mathbb{R}^3 \times S^1 \quad (29)$$

where:

- \mathbb{R}^3 = beobachtbarer 3-dimensionaler Raum
 - S^1 = kompaktifizierte 4. Dimension (Kreis with Radius r_4)
- Kompaktifizierungsradius:

$$r_4 = \xi \cdot \ell_P \approx 2,15 \times 10^{-39} \text{ m} \quad (30)$$

9.2 Effektive Niedrigenergie-Theorie

Nach Kaluza-Klein Dimensionsreduktion:

$$D_{\text{eff}} = 3 + \left(\frac{r_4}{\ell} \right)^{D_f - 3} \approx 3 - \xi \quad \text{für } \ell \gg r_4 \quad (31)$$

Interpretation: Die kompakte 4. Dimension manifestiert sich als fraktale Korrektur zur idealen 3D-Geometrie.

9.3 Physikalische Observablen

Beide Formulierungen führen zu:

$$\text{Sub-Planck-Skala: } \Lambda_0 = \xi \cdot \ell_P = \ell_P / f \quad (32)$$

$$\text{Feinstruktur: } \alpha^{-1} = \pi^4 \cdot \sqrt{2} \approx 137,76 \quad (33)$$

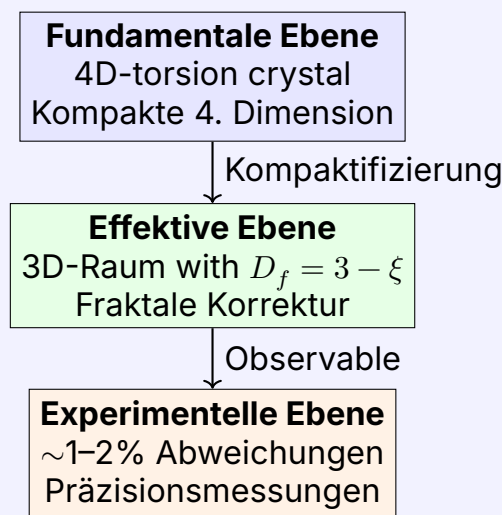
$$\text{Higgs VEV: } v = E_P / (f^2 \sqrt{4\pi}) \approx 246,71 \text{ GeV} \quad (34)$$

$$\text{Tau-Anomalie: } a_\tau = f^{1/3} - 1 \approx 1,282 \times 10^{-3} \quad (35)$$

10 Fazit

Main Result

Die Formulierungen in den Dokumenten 149, 018 (4D-torsion crystal) und 145 (fractal dimension $D_f = 3 - \xi$) sind vollständig kompatibel.
They describe the same physical phenomenon from two complementary perspectives:



10.1 Schlüsselverbindung

Der Parameter $\xi = 4/30000$ unites both views:

- **Topologisch:** 4 fundamentale Dimensionen, 3 beobachtbare
- **Fraktal:** 4/3 geometrischer Faktor (Kugelpackung)
- **Beide:** $\xi \approx 1,33 \times 10^{-4}$ – identischer Zahlenwert!

10.2 Praktische Empfehlung

Verwendung in der Praxis

Für optimale Darstellung der T0-Theorie sollten beide Perspektiven **zusammen** verwendet werden:

- Verwende die **4D-geometrische Sprache** für intuitive Erklärungen, narrative Darstellungen und konzeptionelle Diskussionen
- Verwende die **fraktale Sprache** für präzise Berechnungen, analytische Ableitungen und mathematische Rigorosität

Es gibt **keine Widersprüche** – nur komplementäre Beschreibungen derselben fundamentalen Physik!

10.3 Ausblick

Die Kompatibilität der Formulierungen ist kein Zufall, sondern reflektiert eine tiefe mathematische Wahrheit: Kompaktifizierte höhere Dimensionen können sich als fraktale Korrekturen manifestieren.

Dies verbindet die T0-Theorie with etablierten Konzepten:

- Kaluza-Klein-Theorien (Kompaktifizierung)
- String-Theorie (zusätzliche Dimensionen)
- Fraktale Quantengravitation (variable Dimension)

Die T0-Theorie nutzt all diese Konzepte in einem kohärenten, widerspruchsfreien Rahmen.

Literaturverweise

1. Dokument 149: 149_FFGFT-torsion_De.tex – 4D-torsion crystal-Formulierung
2. Dokument 018: 018_T0_Anomale-g2-10_De.tex – Anomale Momente im 4D-Gitter

3. Dokument 145: 145_FFGFT_donat-teil1_De.tex – Fraktale Dimensionsformulierung

Alle Dokumente sind Teil des **T0-Time-Mass-Duality** Projekts:
<https://github.com/jpascher/T0-Time-Mass-Duality>